

# コインなげと中心極限定理

2010 年度前期「数学 I」補足資料 (原 隆, 2010.06.30)

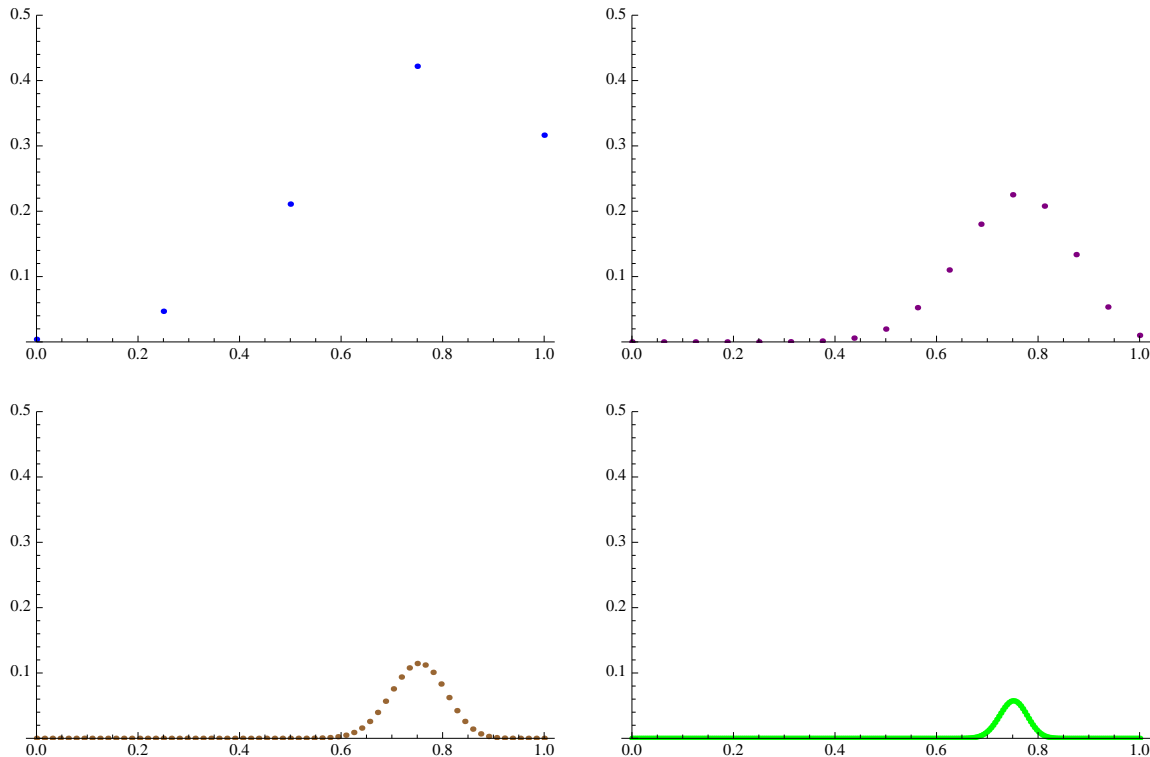
以下は、6/30 の講義で紹介した、コイン投げの結果と中心極限定理の関係を示す資料である。講義で説明したこともあるって、全般的に最小限の説明しか書いていない。

考える問題は以下の通り：

- コインを  $N$  回投げる。表の出る確率  $p$  とする。
- $N$  回中、表の出た回数を  $n$  として、表の出た割合  $n/N$  と、その「 $N$  回中  $n$  回表の出る確率」 =  $P_{n,N}$  を考える。
- $X_i$  を、「 $i$ 回めに表なら 1、裏なら 0」となる確率変数として定義する。これまで何度かやった通り、 $n = \sum_{i=1}^N X_i$  である。
- また、 $X_i$  は i.i.d. で、その期待値は  $\mu = p$ 、標準偏差は  $\sigma = \sqrt{p(1-p)}$  であることに注意しておく。

## 1. $p = 0.75$ の場合

$p = 0.75$  の時を、横軸は  $n/N$ 、縦軸は  $P_{n,N}$  としてプロットした。 $N = 4, 16, 64, 256$  をそれぞれ描いてある。



読み取れること：

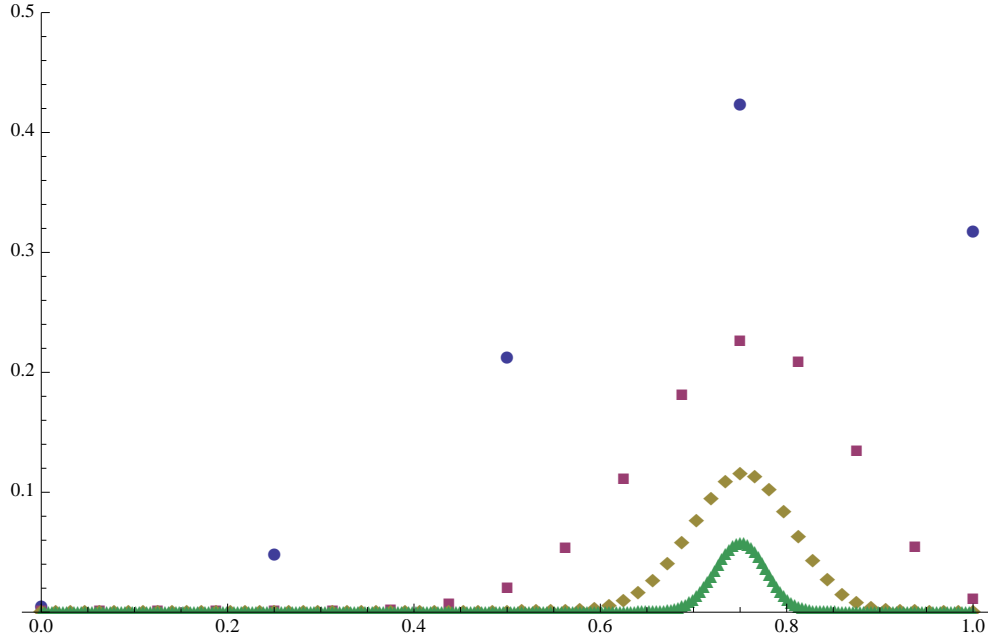
- $N$  が増えるにつれて、点の数は多くなる ( $N+1$  通りの  $n$  があり得るから、アタリマエ)。
- 各点  $n/N$  での確率の値  $P_{n,N}$  は小さくなる。(全確率が 1 だから、点の数が多くなれば、各点での値は小さくなるのは自然。)
- そうではあるが、 $N$  を増やして行くと、 $\mu = p = 0.75$  付近に集まっているようだ。

以下では、 $\mu = 0.75$  の周りにどのように集まっているのか、その規則性を見つけて、中心極限定理との関連をつけよう。

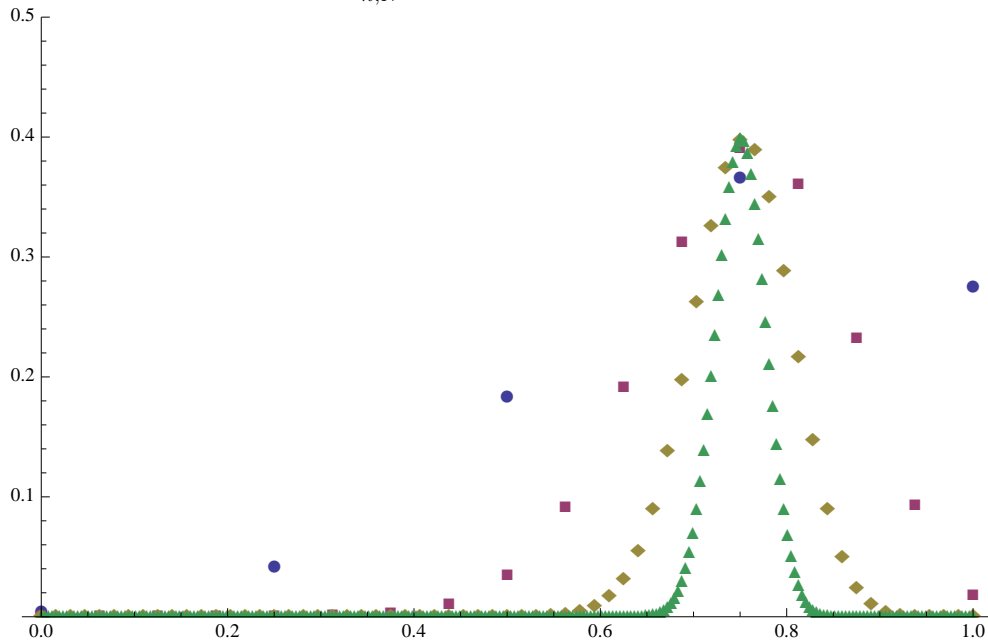
$p = 0.75$  の場合の  $N = 4, 16, 64, 256$

眺めていても仕方ないので、 $N = 4, 16, 64, 256$  のグラフを工夫しながら重ねて描いてみる。青丸が  $N = 4$ 、紫の四角が  $N = 16$ 、黄土色のダイヤモンド型が  $N = 64$ 、緑の三角が  $N = 256$  である。(以下、この色と記号の使い方は同じものを使い続ける。)

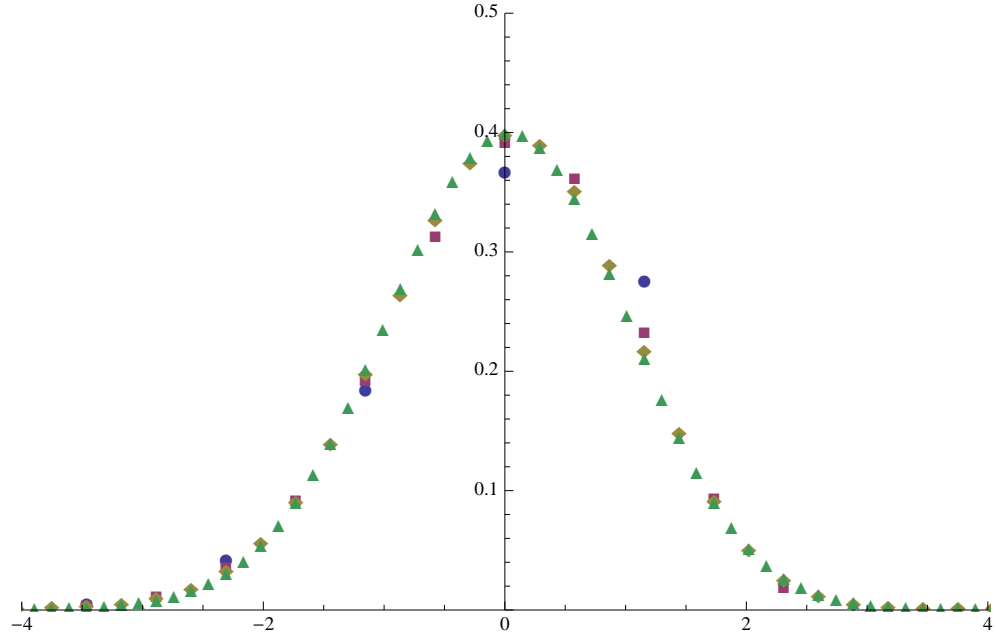
(1) まずは横軸を  $n/N$ 、縦軸は  $P_{n,N}$  とする —— 前ページと全く同じだが、 $N = 4, 16, 64, 256$  を重ねてみた。0.75付近に集中している様子がよりよくわかる。



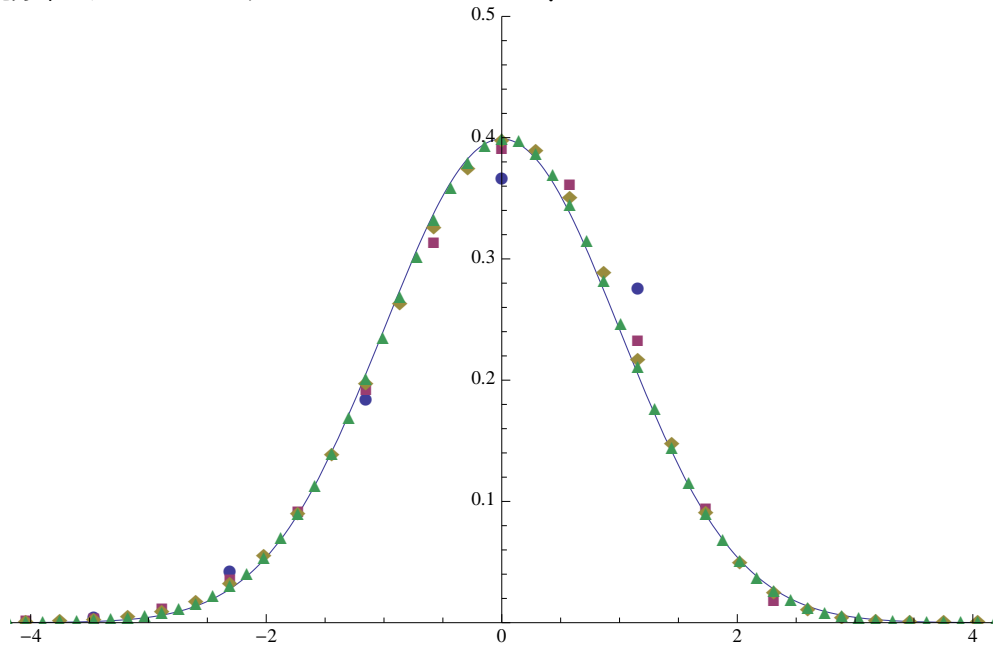
(2) でも、(1) では高さも幅も小さくなつて行くので、そこを補正することを考えよう。まずは高さの補正のために、縦軸を引き延ばす —— 縦軸を  $P_{n,N} \times \sigma\sqrt{N}$  とする。結果として、4つの場合が同じような高さになった。



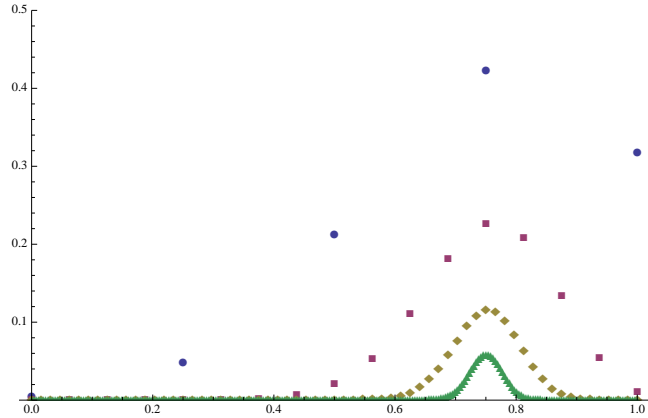
(3) でも、(2) では幅が小さくなり過ぎなので、今度は横軸も引き延ばすことを考える。ただし、単純に引き延ばすと、分布の中心 0.75 が右の方にとんで行ってしまって困る。そこで、分布の中止を原点に移動し、その上で横軸を引き延ばそう。具体的には、縦軸は上のママ  $P_{n,N} \times \sigma \sqrt{N}$  だが、横軸を  $\frac{\sqrt{N}}{\sigma} \times \left( \frac{n}{N} - \mu \right)$  としてみた。結果として、4 つの場合がほとんど重なっている。



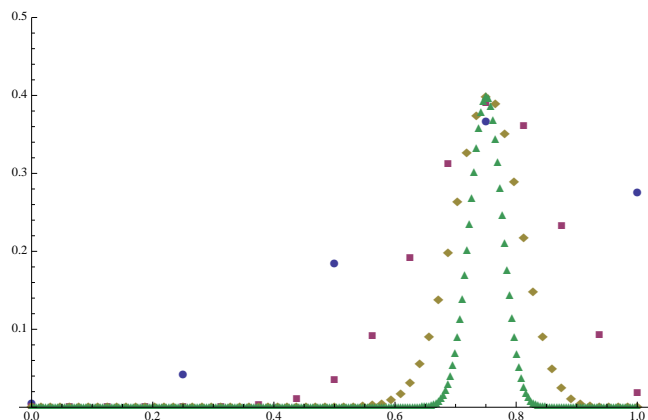
(4) 最後に、上のプロットと正規分布のグラフを重ねてみた。非常に良く重なっている。特に  $N = 64, 256$  では正規分布のグラフからのずれがほとんどわからない。



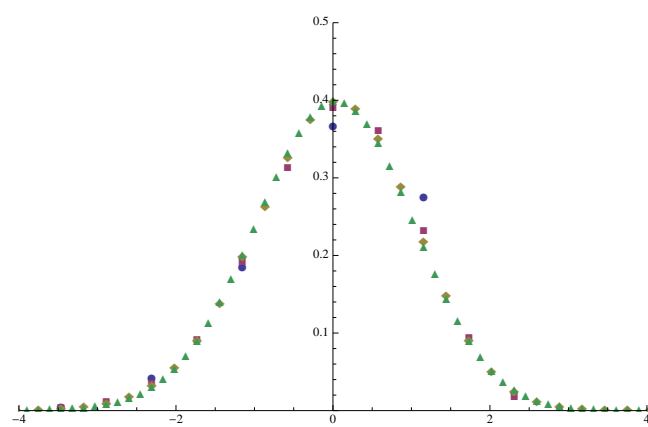
$p = 0.75$  の場合のまとめ。ちゃんとスケールすると、正規分布のグラフに重なって行くことがわかる。



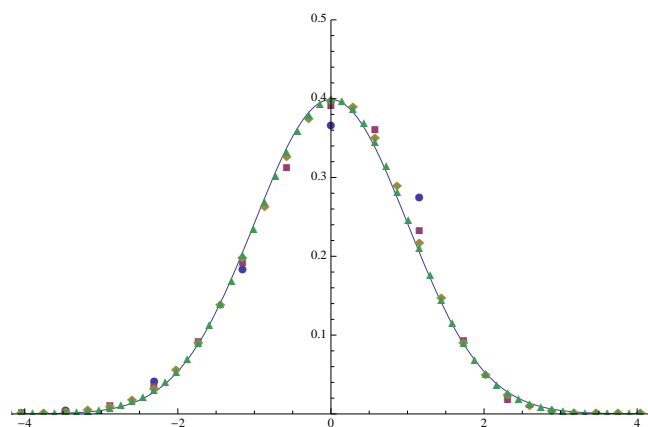
4つを単純に重ねたもの：



縦軸を引き延ばしたもの：



横軸も引き延ばしたもの：

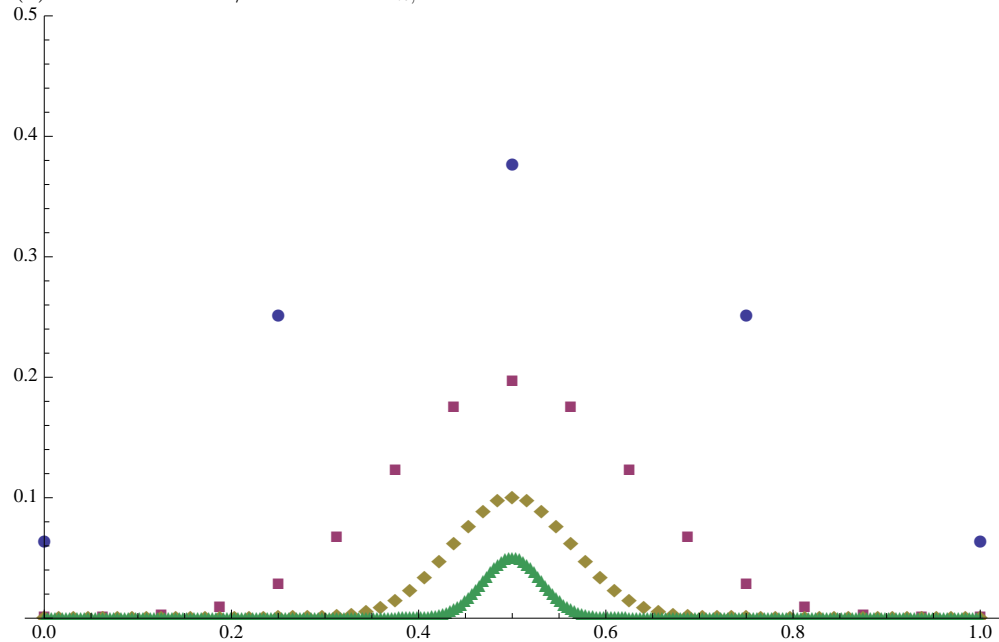


正規分布のグラフを重ねたもの：

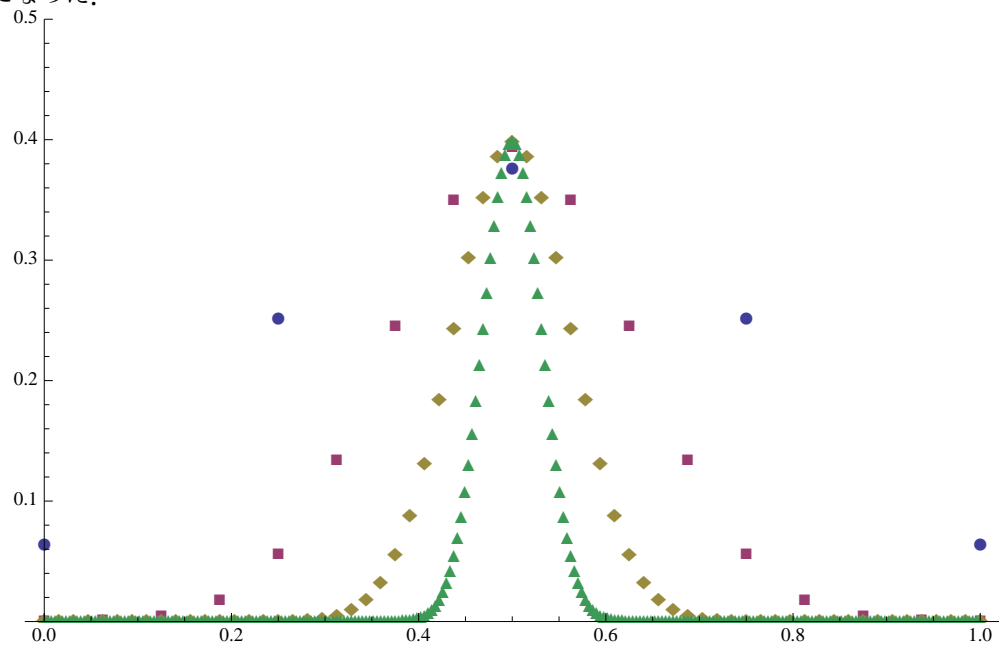
$p = 0.5$  の場合の  $N = 4, 16, 64, 256$

$p = 0.75$  だけでは説得力がないので、 $p = 0.5$  の場合の  $n/N$  vs.  $P_{n,N}$  のプロットも同様にやってみた。

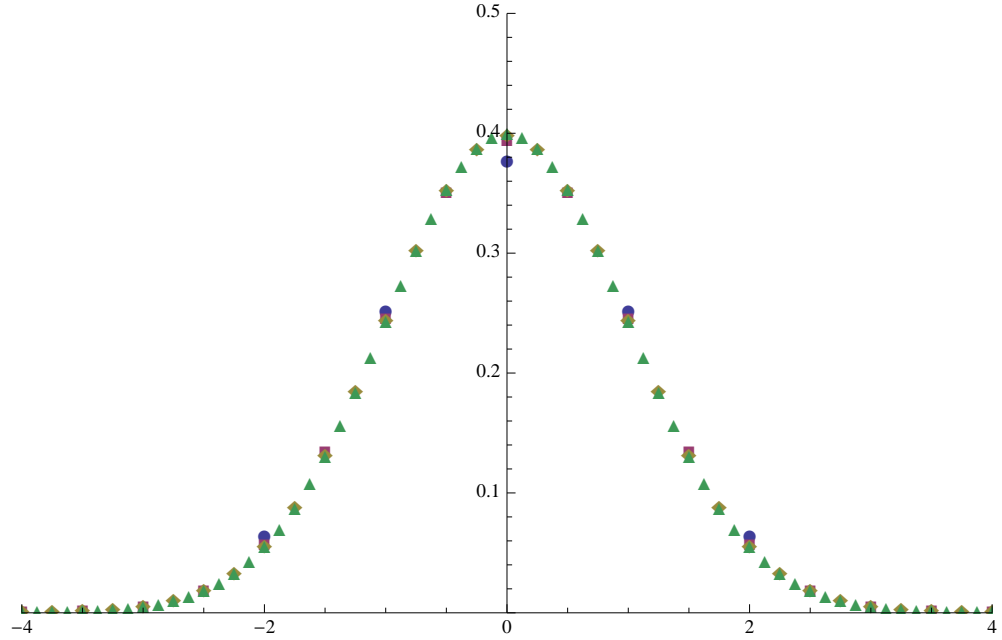
(1) まずは横軸は  $n/N$ 、縦軸は  $P_{n,N}$  —— 何の手も加えていない。



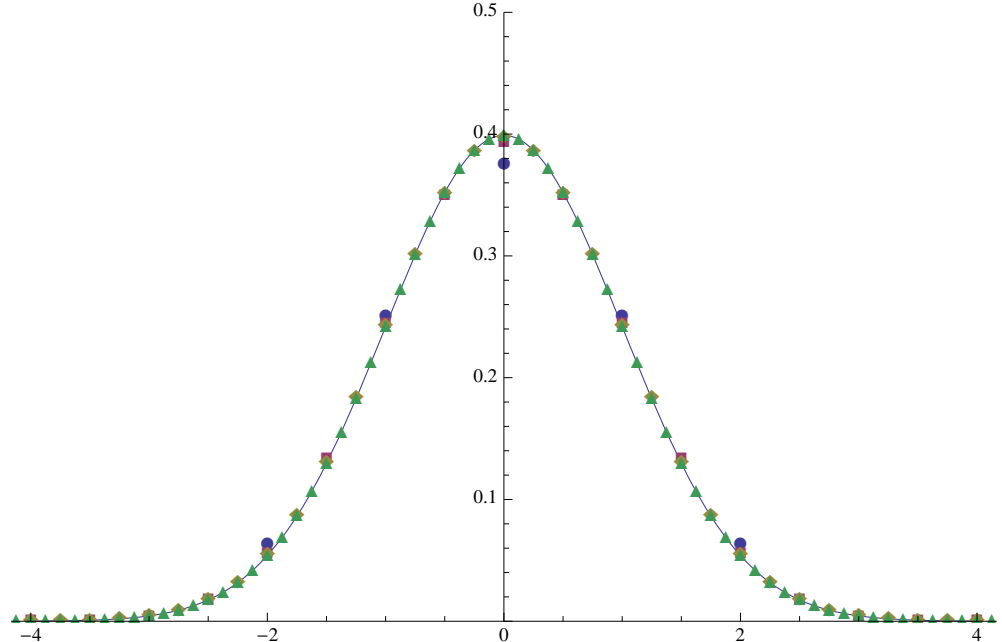
(2) 次に、縦軸を  $P_{n,N} \times \sigma\sqrt{N}$  としてみた —— 縦軸を引き延ばした。結果として、4つの場合が同じような高さになった。



(3) 縦軸は上のママ  $P_{n,N} \times \sigma\sqrt{N}$ , 更に横軸を  $\frac{\sqrt{N}}{\sigma} \times \left( \frac{n}{N} - \mu \right)$  としてみた — 横軸の中心を  $p = 0.5$  に持つて来た上で, 更に引き延ばした. 結果として, 4つの場合がほとんど重なっている.

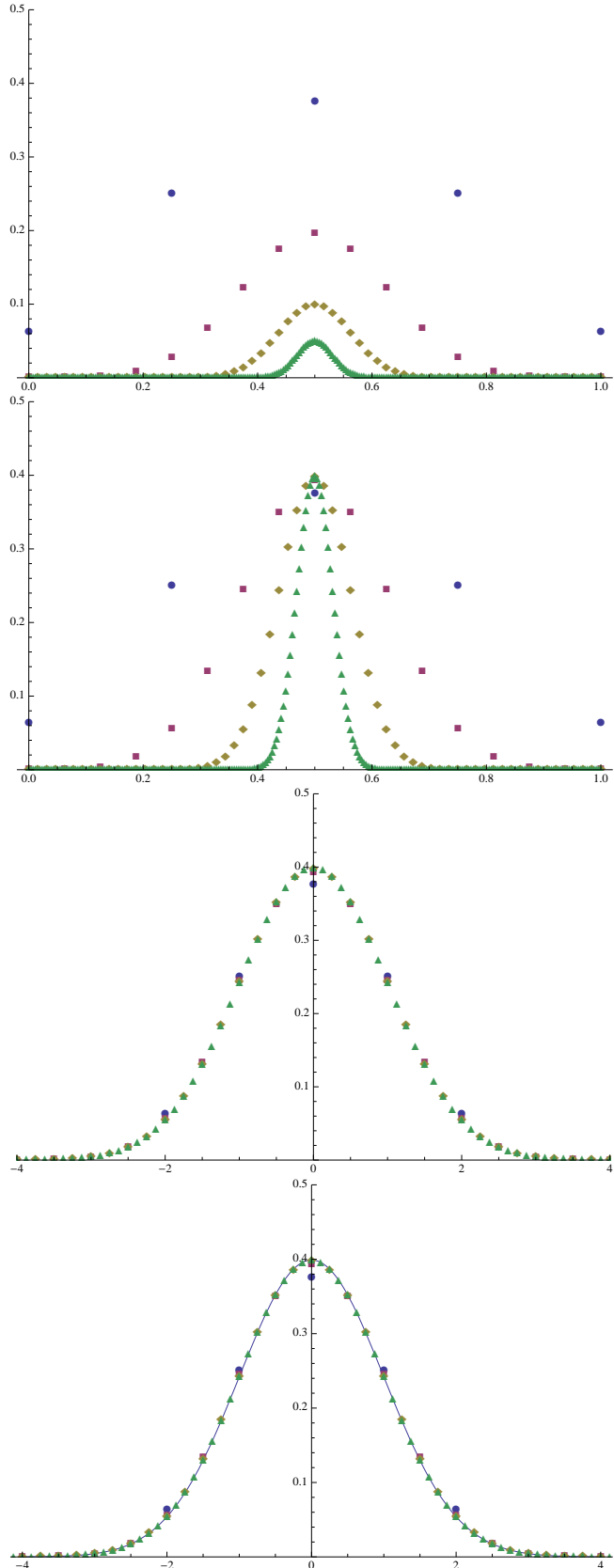


(4) 最後に, 上のプロットとガウス分布のグラフを重ねてみた. 非常に良く重なっている ( $n = 4$  でも !)



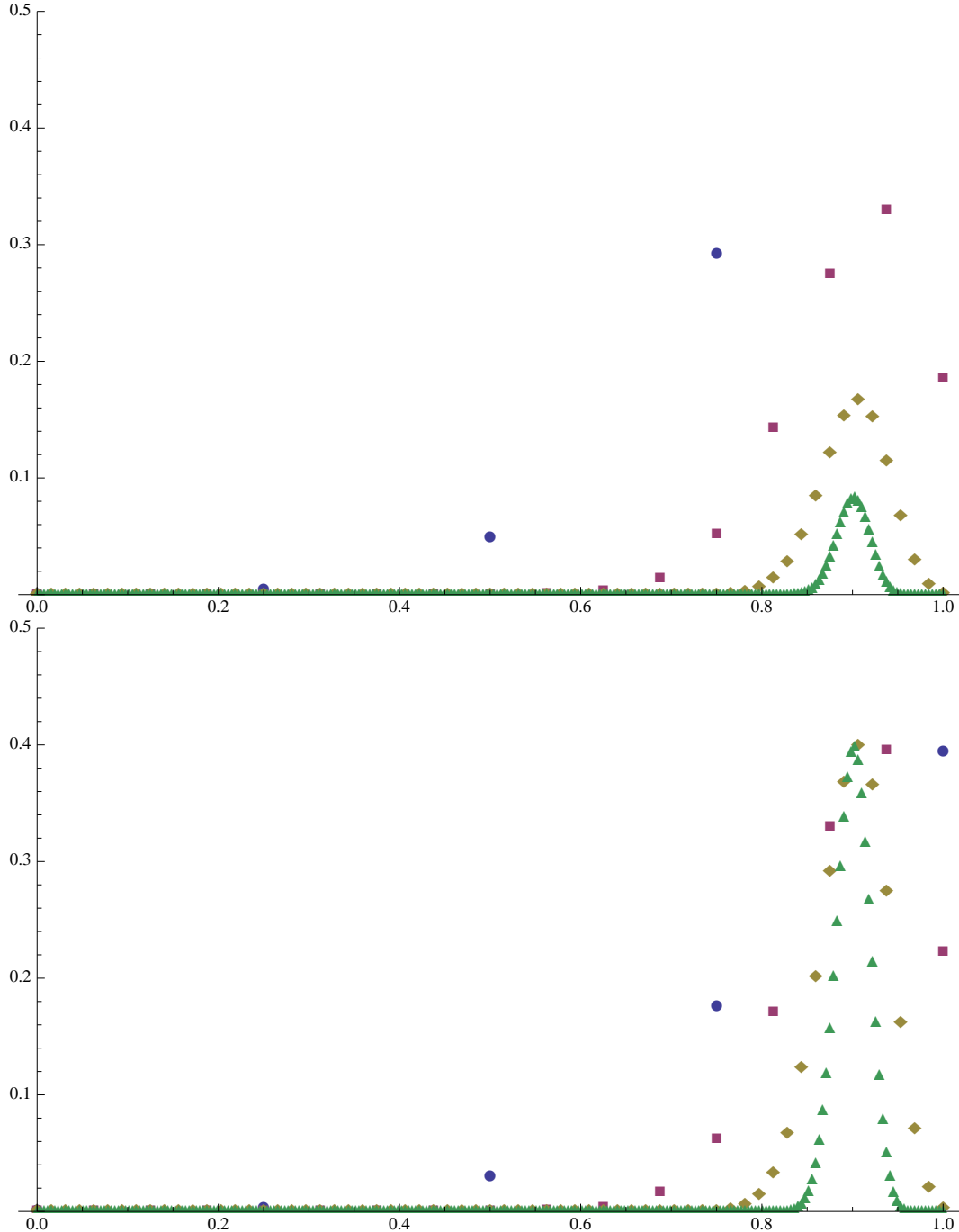
$p = 0.5$  の方が,  $p = 0.75$  よりも収束が良さそうだ.

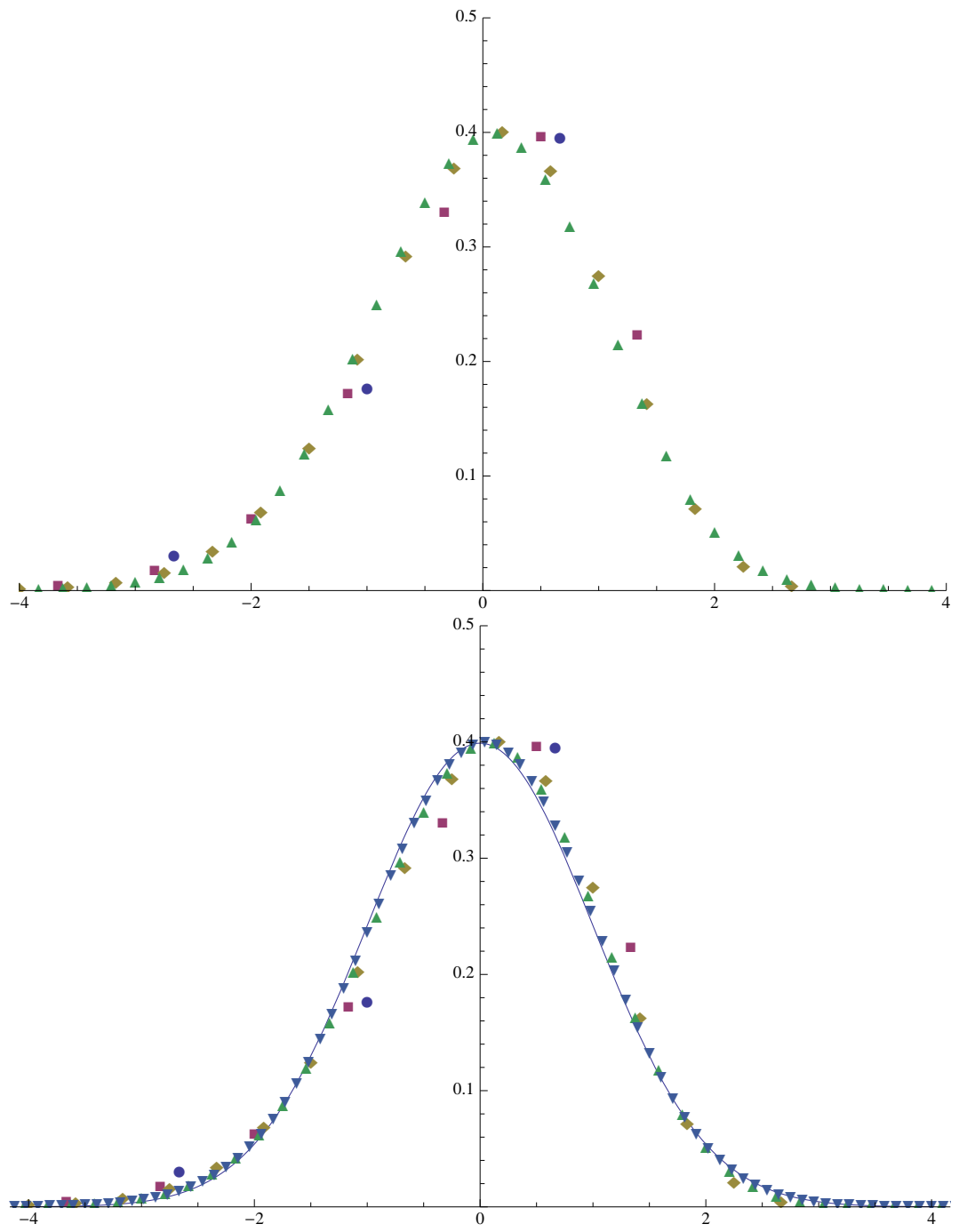
$p = 0.5$  の場合のまとめ



$p = 0.9$  の場合の  $N = 4, 16, 64, 256$

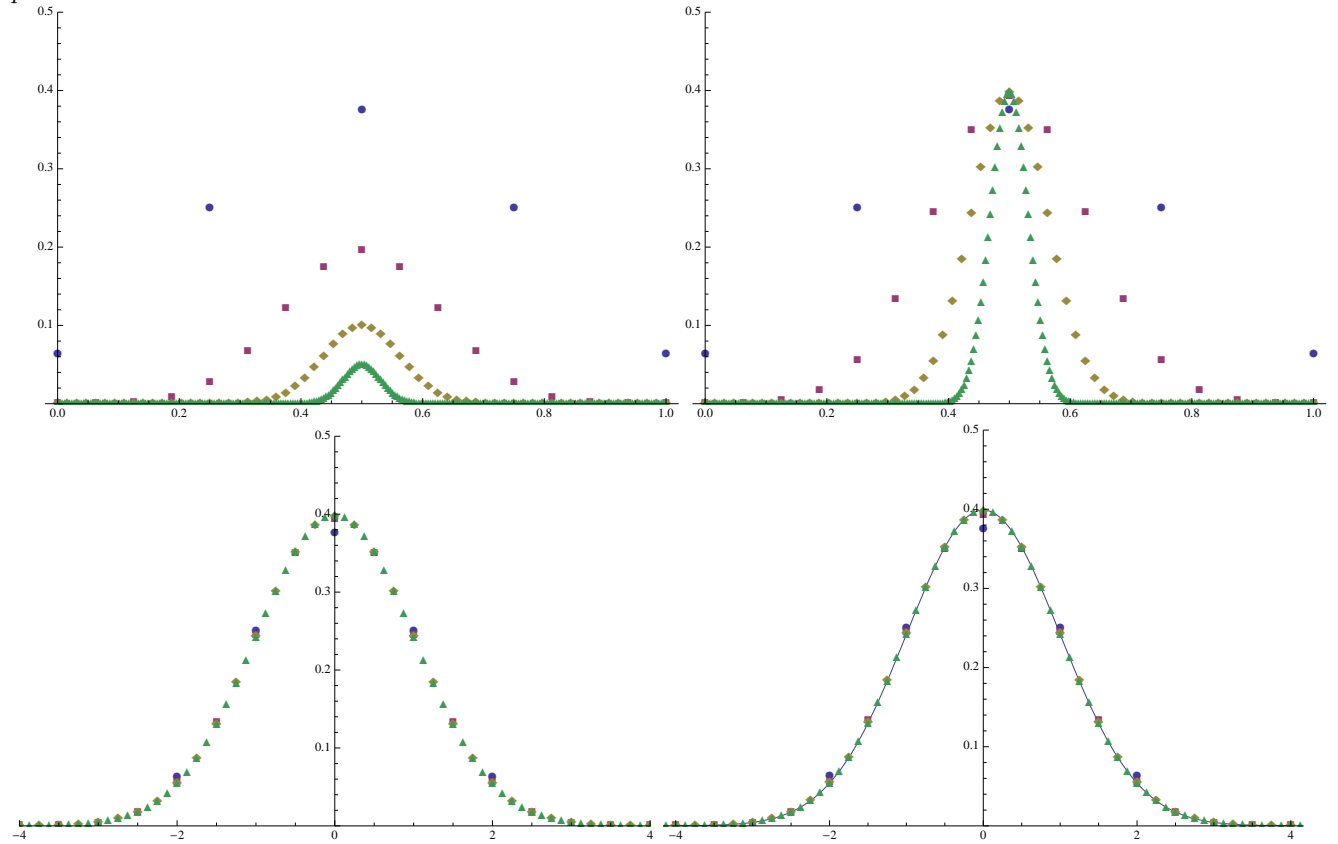
今度は流石につらそうであるが、でも、 $N$  が大きくなると正規分布に重なって行くことが見て取れる。最後の図のみ、 $N = 1024$  も描いてある。



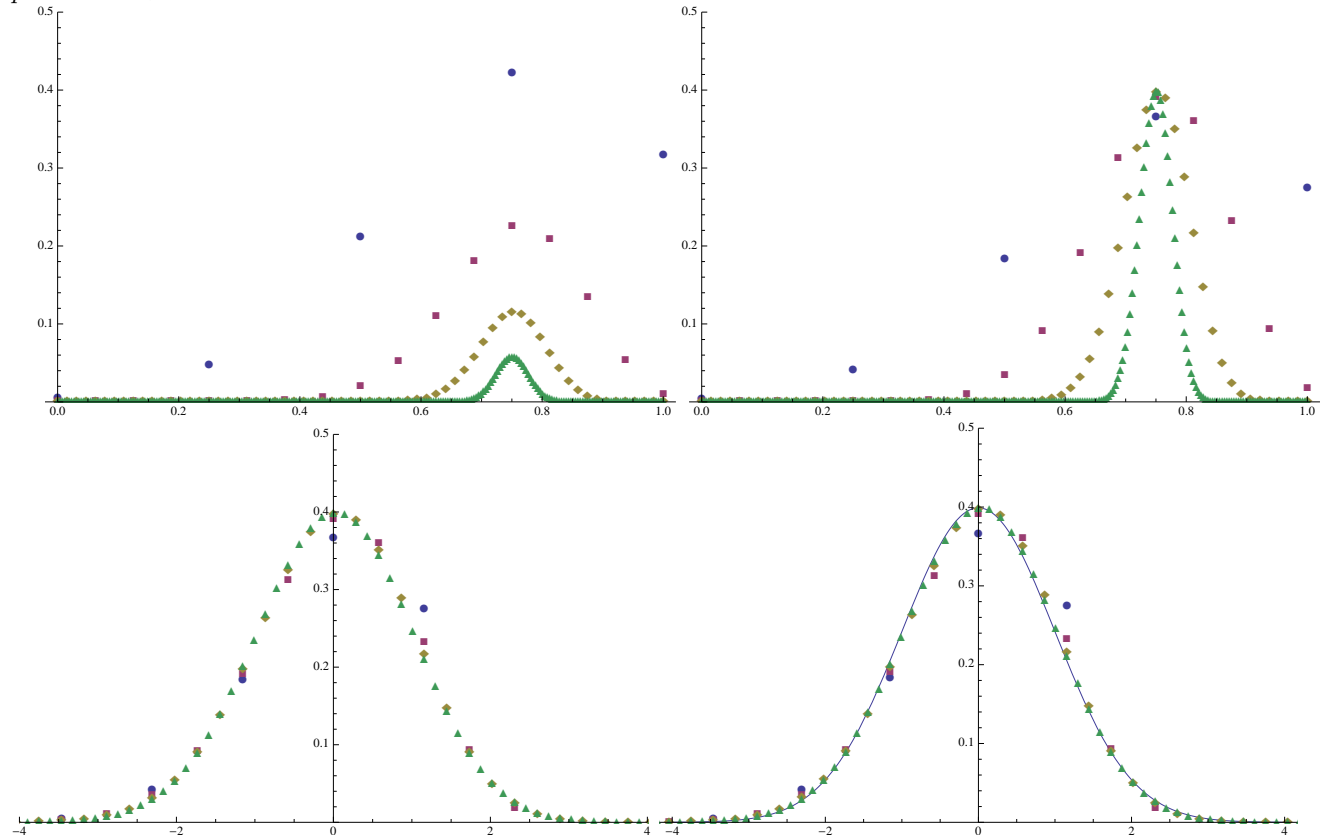


もう一度、 $p = 0.5, 0.75, 0.9$  をまとめておく。

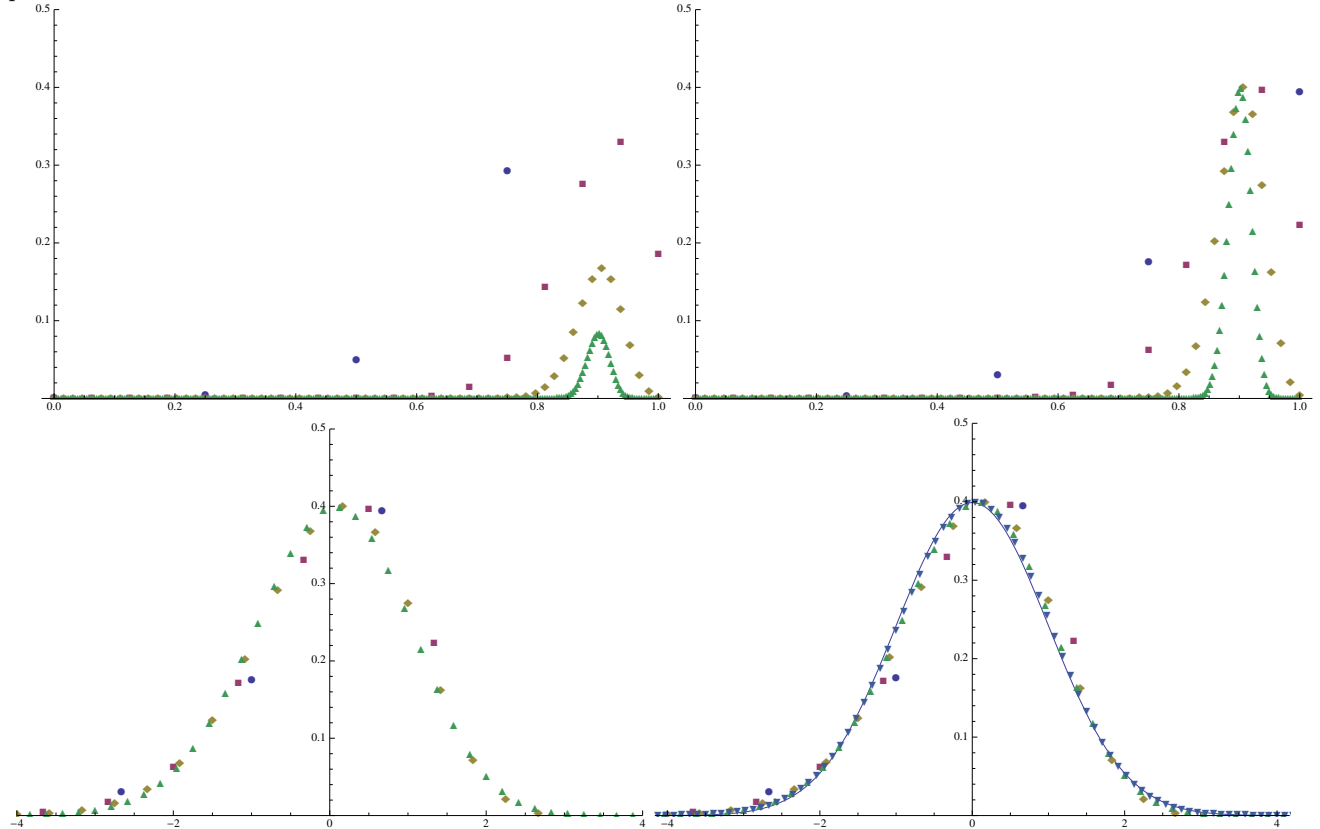
$p = 0.5$  の場合



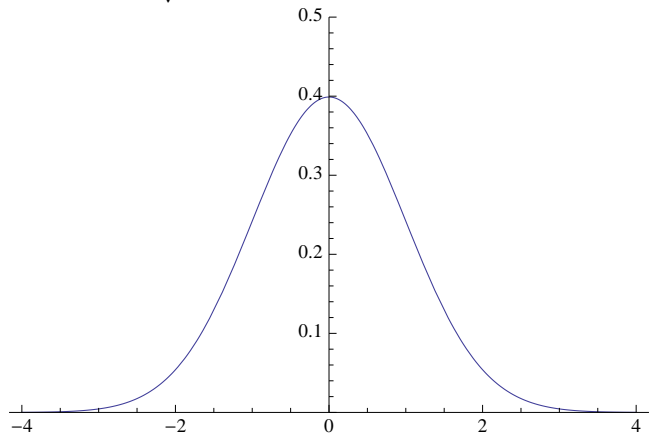
$p = 0.75$  の場合



$p = 0.90$  の場合



正規分布  $y = \frac{e^{-x^2/2}}{\sqrt{2\pi}}$  のグラフは以下のようである。



通常

$$\Phi(a) := \int_{-\infty}^a \frac{e^{-x^2/2}}{\sqrt{2\pi}} dx$$

と書く。以下に  $1 - \Phi(a) = \int_a^\infty \frac{e^{-x^2/2}}{\sqrt{2\pi}} dx$  のいくつかの値を載せておく：

$a$	0	1	1.645	1.960	2	2.326	2.576	3	4
$1 - \Phi(a)$	$\frac{1}{2}$	0.1587	$\frac{1}{20}$	$\frac{1}{40}$	0.02275	$\frac{1}{100}$	$\frac{1}{200}$	$1.350 \times 10^{-3}$	$3.167 \times 10^{-5}$